

PACS numbers: 73.20.At, 78.20.Bh, 78.20.Ci, 78.67.Sc, 81.05.Qk, 82.35.Nr, 87.15.ag

Перебудова електронної структури плівок триптофану за його взаємодії з наночастинками Ag, вкритими поліетиленгліколем

А. М. Гапонов¹, О. П. Павленко¹, М. П. Куліш², О. П. Дмитренко¹,
А. І. Лесюк¹, А. П. Онанко¹, Н. В. Оберніхіна², В. Б. Неймаш³

¹*Київський національний університет імені Тараса Шевченка,
вул. Володимирська, 60,
01033 Київ, Україна*

²*Національний медичний університет імені О. О. Богомольця,
бул. Тараса Шевченка, 13,
01601 Київ, Україна*

³*Інститут фізики НАН України,
просп. Науки, 46,
03028 Київ, Україна*

Досліджено спектри оптичного поглинання шарових плівок на основі наночастинок срібла, покритих поліетиленгліколем (ПЕГ) та амінокислотою триптофан, осадженою термічним вакуумним напорошенням. Проведені квантово-хімічні розрахунки вказують на можливість комплексоутворення амінокислоти з ланками полімеру. Охарактеризовано будову комплексів і електронну структуру, що впливає на спектри поглинання та є результатом взаємодії триптофану з ПЕГ.

The optical absorption spectra of layered films based on silver nanoparticles coated with polyethylene glycol (PEG) and the amino acid tryptophan deposited by thermal vacuum sputtering are studied. Quantum-chemical calculations indicate the possibility of complex formation of amino acid with polymer chains. The structure of the complexes and the electronic structure, which affects the absorption spectra and is the result of the interaction of tryptophan with PEG, are characterized.

Ключові слова: поліетиленгліколь, триптофан, наночастишки срібла, оптична спектроскопія, квантово-хімічні розрахунки.

Key words: polyethylene glycol, tryptophan, silver nanoparticles, optical spectroscopy, quantum-chemical calculations.

(Отримано 22 січня 2023 р.)

1. ВСТУП

Наночастинки срібла (Ag) знаходять широке застосування в медицині для діагностики та лікування різних захворювань, що зумовлено відомими антибактеріальними властивостями срібла, а також ефективністю у протипухлинній терапії [1–5]. Водночас, фармакологічні особливості та біологічну активність наночастинок Ag вивчено значно менше. Разом з тим, встановлено, що наносрібло ефективно блокує передачу кисню білками клітинних мембран до бактерій і тому використовується як антисептичний засіб для лікування відкритих ран та опіків. Недоліком наносрібла, як і інших наночастинок, є їхня схильність до втрати стабільності, що значно обмежує використання їх, в тому числі у медицині. Часто вирішення цієї проблеми пов'язують з покриттям поверхні наночастинок різними засобами, наприклад полімерами [6]. Серед полімерів особливе місце займають водорозчинні матеріали, до яких належать поліетиленгліколи (ПЕГ). Ці полімери є основою для створення нових лікарських засобів внаслідок сукупності їхніх властивостей, зумовлених процесом ПЕГілування [7]. Таке ПЕГілування застосовується не лише для ліків, а й білків, ферментів, наночастинок. Але механізми взаємодії макромолекул ПЕГ з біологічно важливими структурами вивчено недостатньо. Встановлення таких механізмів уможливить визначення впливу більш складних систем, наприклад ПЕГілованих наночастинок, на властивості біомолекул, у тому числі амінокислот.

Метою даної роботи є вивчення оптичних властивостей пошарових композитів наносрібла, вирощених і покритих ПЕГ за радіаційного зшивання, та квантово-хімічне моделювання зміни електронної структури у комплексах ПЕГ з триптофаном (Trp).

2. ЕКСПЕРИМЕНТАЛЬНА ЧАСТИНА

Наночастинки срібла та покриття їх ПЕГ були синтезовані методом радіаційного зшивання [8]. Пошаровий композит був приготований послідовним нанесенням плівок наночастинок Ag, покритих ПЕГ, та триптофану на кварцову підкладку. Плівка Ag–ПЕГ наносилася на кварцову підкладку методом спін-коутінгу за частоти обертання підкладки у 1200 об/хв. та кімнатної температури, а плівка триптофану — методом вакуумного термічного осадження. Товщина плівок становила 150 нм і 50 нм відповідно. Мірювання спектрів поглинання проводилося за допомогою спектрометра Macylab Instruments Double Beam UV-1900 (UV/Vis) Spectrophotometer.

Для встановлення змін у спектрах поглинання було проведено моделювання взаємодії ланки поліетиленгліколю й амінокислоти

триптофану. Квантово-хімічні розрахунки сполук та їхніх комплексів проводилися у програмі Gaussian09 [9] з використанням методів DFT (3-21G, CAM-B3LYP) для оптимізації геометрії в основному стані (визначення розподілу заряду, електронної структура, форми молекулярних орбіталей) і TD-SCF (3-21G, CAM-B3LYP) для розрахунків електронних переходів.

3. РЕЗУЛЬТАТИ Й ОБГОВОРЕННЯ

Відомо, що для розчинів у воді наночастинок срібла формується смуга електронного поглинання, зумовлена поверхневим плазмонним резонансом [10]. В залежності від розміру наночастинок можлива поява як поперечного, так і повздовжнього плазмонного резонансів, кожен з яких приводить до появи окремих смуг з максимумами за різних довжин хвиль. Для молекули триптофану у спектрі поглинання також мають місце дві смуги.

Зазначені характеристики спектрів поглинання специфічні й для плівок Ag-PEG, вкритих наночастиною амінокислоти Trp (рис. 1).

Для спектру поглинання молекул триптофану спостерігаються смуги біля 220 і 282 нм, а у випадку плівки Ag-PEG смуги розміщуються біля 202 і 415 нм. Очевидно, що широку смугу біля 415 нм зумовлено поперечним поверхневим резонансом у наночастинках Ag. З вигляду спектру для наносрібла та положення смуги можна зробити висновок, що у радіаційно зшитих розчинах формуються наночастинки з середнім діаметром у 60 нм. Смуга біля 202 нм і перегин поблизу 250 нм пов'язані з шаром ПЕГ, що покриває наночастинки. Для пошарового композиту

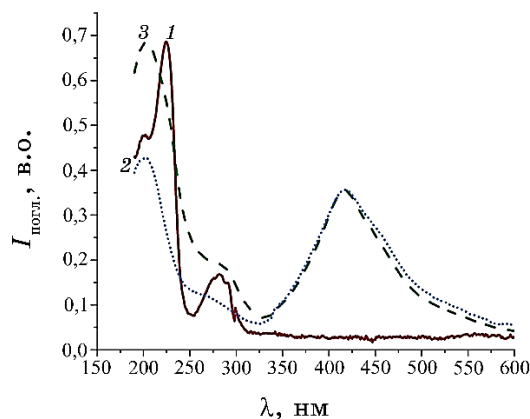


Рис. 1. Спектри оптичного поглинання для плівок триптофану Trp (червона крива 1), наночастинок срібла, покритих поліетиленгліколем, Ag-PEG (крива 2) та їхнього пошарового композиту Ag-PEG-Trp.¹

спектер в інтервалі розміщення смуги плазмонного резонансу залишається незмінним. Водночас, короткохвильова смуга триптофану зміщується у бік менших довжин хвиль, а довгохвильова смуга істотно перебудовується. Вказані зміни оптичного поглинання дають змогу припустити можливість утворення комплексів між молекулами триптофану та ПЕГ, що з'являються на інтерфейсі обох шарів. Можна очікувати, що поява таких комплексів буде супроводжуватися перебудовою електронної структури обох типів молекули. Для встановлення такої перебудови доцільно провести квантово-хімічне моделювання вказаних молекул ПЕГ і триптофану та їхніх комплексів ПЕГ–триптофан.

На рисунку 2 наведено модельну структурну ланку поліетиленгліколю (а) та розподіл зарядів на ній (б). Реальна молекула ПЕГ може складатися з кількох тисяч атомів, а обрана ланка являє собою елементарний ланцюжок даного полімеру (без врахування радіаційних пошкоджень за рахунок опромінення електронами), який складається з періодично розташованих атомів Карбону й Оксигену. Структурна формула має вигляд $\text{HO}-(\text{CH}_2-\text{CH}_2-\text{O})_n-\text{H}$. Видно, що атоми С мають додатні значення величин зарядів близько 0,5 е.о., які наближаються до нуля біля кінцевих груп; атоми О заряджені негативно $-0,51$ е.о. і є чутливими

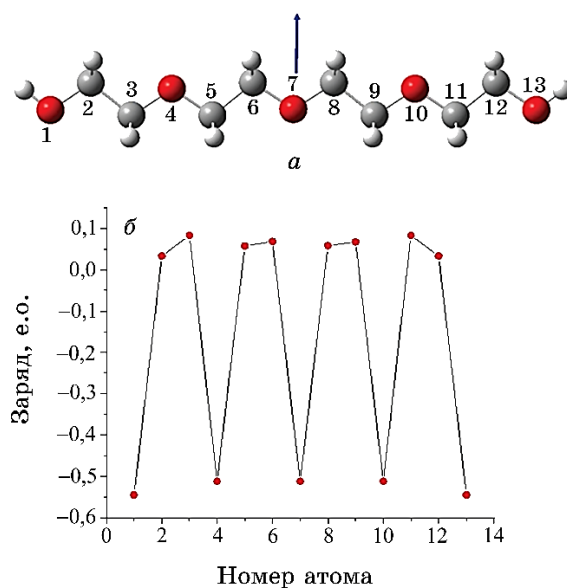


Рис. 2. Оптимізована (DFT) геометрія ланки поліетиленгліколю (ПЕГ). Стрілкою вказано напрямок дипольного моменту ланки поліетиленгліколю (а). Розподіл зарядів на модельній ланці молекули ПЕГ (б) зазначено згідно з нумерацією атомів на рис. 2, а.²

до обриву ланцюга, набуваючи ще менших значень -0.54 е.о.

Симетрія обраної ланки ПЕГ зумовлює виникнення дипольного моменту, який напрямлений перпендикулярно вгору від центрального атома Оксигену; його величина складає $1,95$ Д.

Атоми Карбону молекули триптофану (рис. 3, а) складають π -спряжену площину індольного ядра, у межах якої чотири з них мають негативні заряди $-0,1$ е.о. (рис. 3, б), у той час як атоми Карбону, що формують п'ятикутник, мають незначні додатні значення, у тому числі через присутність атома Нітрогену (номер 9), зарядженого негативно з $-0,61$ е.о. (рис. 3, в). Атом Нітрогену (номер 1) заряджений дещо менш негативно $-0,58$ е.о.; сусідні атоми Оксигену (номери 2 та 5) мають $-0,47$ і $-0,48$ е.о. відповідно.

На рисунку 4 наведено енергії та форми молекулярних орбіталей ланки ПЕГ (а) та триптофану (б). Енергія орбіталі НОМО для молекули ПЕГ, що делокалізована по всьому ланцюгу, окрім кінців ланцюга, дорівнює $-6,81$ еВ, а для LUMO відповідне значення становить $1,62$ еВ. Значна віддаль між ними формує велику енергетичну щілину, що підтверджується експериментальним піком поглинання біля 202 нм. Молекулярні орбіталі, що локалізовані на кінцевих групах, мають ще нижчі значення енергії.

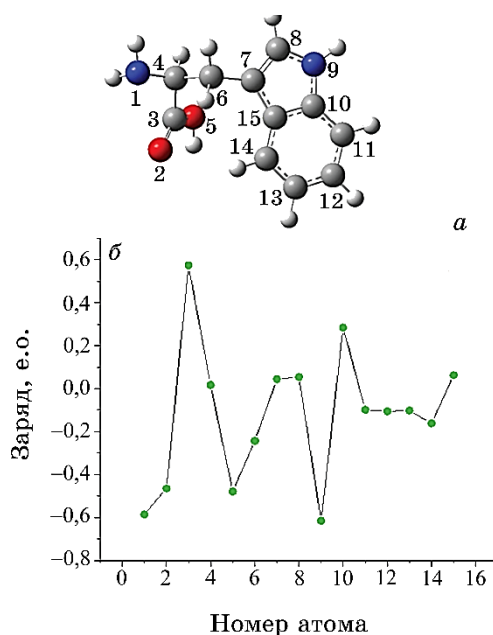


Рис. 3. Оптимізована геометрія молекули триптофану (а); розподіл заряду на ній (б).³

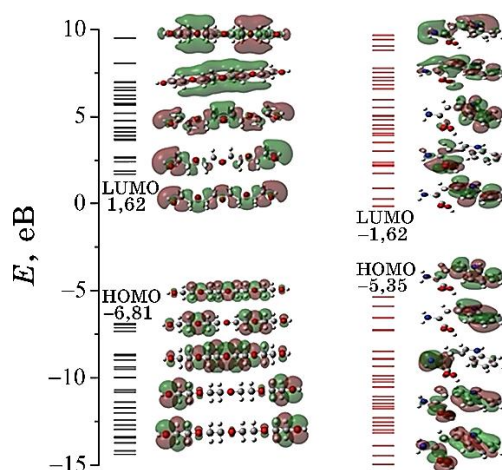


Рис. 4. Розподіл електронних рівнів і форми молекулярних орбіталей ланки ПЕГ (а) та молекули триптофану (б) в області енергетичної щільності.⁴

ТАБЛИЦЯ. Довжини хвиль (λ), сила осцилятора (f) та основні конфігурації переходів молекули ПЕГ, триптофану та їхнього комплексу (TD-SCF).⁵

Ланка ПЕГ	λ , нм	f	Основна конфігурація
$S_0 \rightarrow S_1$	163,0	0	НОМО–LUMO
$S_0 \rightarrow S_2$	161,0	0,001	НОМО–4–LUMO+1
Триптофан			
$S_0 \rightarrow S_1$	260,3	0,065	НОМО–LUMO
$S_0 \rightarrow S_2$	254,0	0,010	НОМО–LUMO+1
Комплекс триптофан–ПЕГ			
$S_0 \rightarrow S_1$	286,3	0,037	НОМО–LUMO
$S_0 \rightarrow S_2$	265,9	0,023	НОМО–1–LUMO

На рисунку 4, б наведено форми молекулярних орбіталей для молекули триптофану. Так, НОМО-, НОМО–1- і LUMO-орбіталі делокалізовані на ароматичному залишку (кільці). У порівнянні з ПЕГ НОМО триптофану знаходиться поблизу $-5,35$ еВ, що разом з LUMO формує енергетичну щільність у $5,2$ еВ, причому пік поглинання зсунутий у червону область відносно максимуму для ПЕГ (табл.), що узгоджується з експериментально вимірюваними значеннями (рис. 1).

З утворенням комплексу триптофану з ланкою ПЕГ перерозподілу заряду на атомах його складових компонентів не спостерігається, а значення величин зарядів у межах незначних відхилів залишаються такими ж. У комплексі формується дипольний мо-

мент, напрямлений вздовж індольного залишку, площина якого розташовується паралельно до ланцюга ПЕГ на віддалі у 3,4 Å (рис. 5).

З формуванням комплексу має місце зміна енергетичної щільності та виникнення нових орбіталей, електронна густина яких локалізована на обох компонентах комплексу. Локалізацію молекулярних орбіталей в області енергетичної щільності наведено на рис. 6.

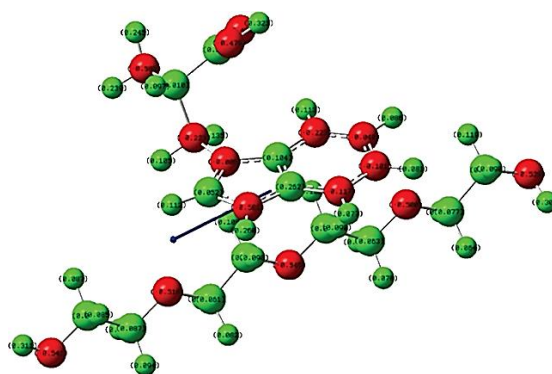


Рис. 5. Оптимізована геометрія комплексу ланки ПЕГ і триптофану; стрілкою вказано напрямок дипольного моменту, величина якого складає 6.12 Д (D).⁶

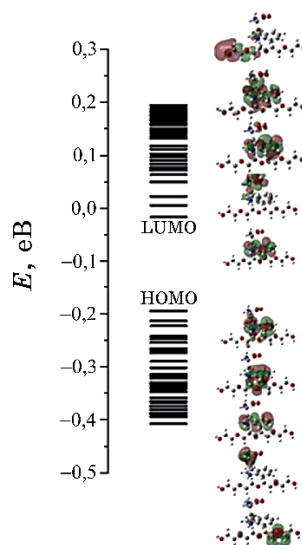


Рис. 6. Розподіл електронних рівнів і форми молекулярних орбіталей моделю комплексу молекул ПЕГ і молекули триптофану.⁷

Видно, що орбіталі НОМО та LUMO розташовані на індолі триптофану з частковою участю електронної густини від ланки ПЕГ, причому енергія LUMO становить $-0,2$ еВ, а НОМО — $-5,41$ еВ, і має місце звуження енергетичної щільності комплексу, що має відобразитися на енергіях електронних переходів (табл.).

Як видно з таблиці, з формуванням комплексу основний електронний перехід відбувається за довжини хвилі у 286 нм і реалізується з НОМО на LUMO, що є локалізовані на триптофані з ПЕГ, і зміщується у бік довших довжин хвиль.

4. ВИСНОВКИ

Напорошення триптофану на плівки наночастинок срібла, вкритих поліетиленгліколем, приводить до трансформації спектру поглинання в області максимумів триптофану та поліетиленгліколю за незмінного спектру поглинання наночастинок срібла. За допомогою квантово-хемічних розрахунків комплексу триптофану та ланки поліетиленгліколю встановлено, що за його формування значного перерозподілу зарядів у порівнянні з окремими його компонентами не відбувається; проте має місце поява дипольного моменту та перерозподіл електронних рівнів, виникнення нових орбіталей, локалізованих одночасно на обох компонентах. За формування комплексу триптофану з поліетиленгліколем орбіталі НОМО та LUMO локалізовані одночасно на індольному фрагменті триптофану та частково на ланці поліетиленгліколю і є енергетично зміщеними відносно цих же рівнів окремого триптофану, що приводить до зміни довжини хвилі електронного переходу, який визначає основний внесок у інтенсивність спектру поглинання, з 260 до 286 нм.

ЦИТОВАНА ЛІТЕРАТУРА—REFERENCES

1. G. Pasparakis, *Wiley Interdisciplinary Reviews: Nanomedicine and Nanobiotechnology*, **14**, No. 5: e1817 (2022); <https://doi.org/10.1002/wnan.1817>
2. R. Javed, M. Zia, S. Naz, S. Aisida, N. Ain, and Q. Ao, *J. Nanobiotechn.*, **18**: 1 (2020); <https://doi.org/10.1186/s12951-020-00704-4>
3. G. Oana, R. Puiu, A. Borcă, A. Burduşel, and A. Grumezescu, *Nanomat.*, **10**, No. 11: 2318 (2020); <https://doi.org/10.3390/nano10112318>
4. R. Aswathy, P. Chandran, and S. Khan, *Coll. Surf. B: Biointerf.*, **105**: 342 (2013); <https://doi.org/10.1016/j.colsurfb.2012.07.036>
5. O. Yeshchenko, N. Kutsevol, A. Tomchuk, P. Khort, P. Virych, V. Chumachenko, Y. Kuziv, A. Marinin, L. Cheng, and G. Nie, *Nanomat.*, **12**, No. 15: 2655 (2022); <https://doi.org/10.3390/nano12152655>
6. O. Nadтока, P. Virych, V. Doroschuk, S. Lelyushok, V. Chumachenko, T. Bezugla, and N. Kutsevol, *Appl. Nanosc.*, **1** (2021);

- <https://doi.org/10.1155/2021/4935642>
7. K. Ciepluch, K. Skrzyniarz, J. Zdańska, A. Barrios-Gumiel, J. Sánchez-Nieves, F. Mata, B. Maciejewska, Z. Drulis-Kawa, M. Bryszewska, and M. Arabski, *J. Molec. Liq.*, **319**: 114339 (2020); <https://doi.org/10.1016/j.molliq.2020.114339>
 8. V. B. Neimash, H. D. Kupianskyi, I. V. Olkhovyk, V. I. Styopkin, P. M. Lytvynchuk, V. Yu. Povarchuk, I. S. Roguts'kyi, Yu. A. Furmanov, S. M. Titarenko, *Ukr. Phys. J.*, **64**, No. 1: 41 (2019);
 9. M. J. Frisch, G. W. Trucks, H. B. Schlegel, G. E. Scuseria, M. A. Robb, J. R. Cheeseman, G. Scalmani, V. Barone, G. A. Petersson, H. Nakatsuji, X. Li, M. Caricato, A. Marenich, J. Bloino, B. G. Janesko, R. Gomperts, B. Mennucci, H. P. Hratchian, J. V. Ortiz, A. F. Izmaylov, J. L. Sonnenberg, D. Williams-Young, F. Ding, F. Lipparini, F. Egidi, J. Goings, B. Peng, A. Petrone, T. Henderson, D. Ranasinghe, V. G. Zakrzewski, J. Gao, N. Rega, G. Zheng, W. Liang, M. Hada, M. Ehara, K. Toyota, R. Fukuda, J. Hasegawa, M. Ishida, T. Nakajima, Y. Honda, O. Kitao, H. Nakai, T. Vreven, K. Throssell, J. A. Montgomery, Jr., J. E. Peralta, F. Ogliaro, M. Bearpark, J. J. Heyd, E. Brothers, K. N. Kudin, V. N. Staroverov, T. Keith, R. Kobayashi, J. Normand, K. Raghavachari, A. Rendell, J. C. Burant, S. S. Iyengar, J. Tomasi, M. Cossi, J. M. Millam, M. Klene, C. Adamo, R. Cammi, J. W. Ochterski, R. L. Martin, K. Morokuma, O. Farkas, J. B. Foresman, and D. J. Fox *Gaussian 09, Revision A.02* (Wallingford CT: Gaussian, Inc.: 2016).
 10. V. Chegel, A. Lopatynskyi, Sh. Ishihara, J. Hill, and K. Ariga, *Austral. J.Chem.*, **65**, No. 9: 1223 (2012); <https://doi.org/10.1071/CH12119>
 11. N. Obernihina, O. Pavlenko, A. Kachkovsky, and V. Brovarets, *Polyc. Arom. Comp.*, **41**, No. 10: 2110 (2021); <https://doi.org/10.1080/10406638.2019.1710855>

¹Taras Shevchenko National University of Kyiv,
Faculty of Physics,
60 Volodymyrs'ka Str.,
UA-01033 Kyiv, Ukraine

²O. O. Bogomolets National Medical University,
13, Taras Shevchenko Blvd.,
UA-01601 Kyiv, Ukraine

³Institute of Physics, N.A.S. of Ukraine,
46, Nauky Ave.,
UA-03028 Kyiv, Ukraine

¹ Fig. 1. Optical absorption spectra for films of tryptophan Trp (curve 1), silver nanoparticles coated with polyethylene glycol Ag-PEG (curve 2), and their layered Ag-PEG-Trp composite.

² Fig. 2. Optimized geometry of the polyethylene glycol (PEG). The arrow indicates the direction of the dipole moment of the polyethylene glycol (*a*). Distribution of charges on the model chain of the PEG molecule (*σ*) is according to the numbering of atoms in Fig. 2, *a*.

³ Fig. 3. Optimized geometry of the tryptophan molecule (*a*); charge distribution on it (*σ*).

⁴ Fig. 4. Distribution of electronic levels and the shape of the molecular orbitals of the PEG link (*a*) and the tryptophan molecule (*σ*) in the region of the energy gap.

⁵ TABLE. Wavelengths (λ), oscillator strength (*f*), and the main configurations of transitions for the PEG molecule, tryptophan and their complex (TD-SCF).

⁶ Fig. 5. Optimized geometry of the complex of the PEG link and tryptophan; the arrow indicates the direction of the dipole moment, the value of which is of 6.12 D (*σ*).

⁷ Fig. 6. Distribution of electronic levels and shape of molecular orbitals of the complex model of PEG molecules and tryptophan molecules.